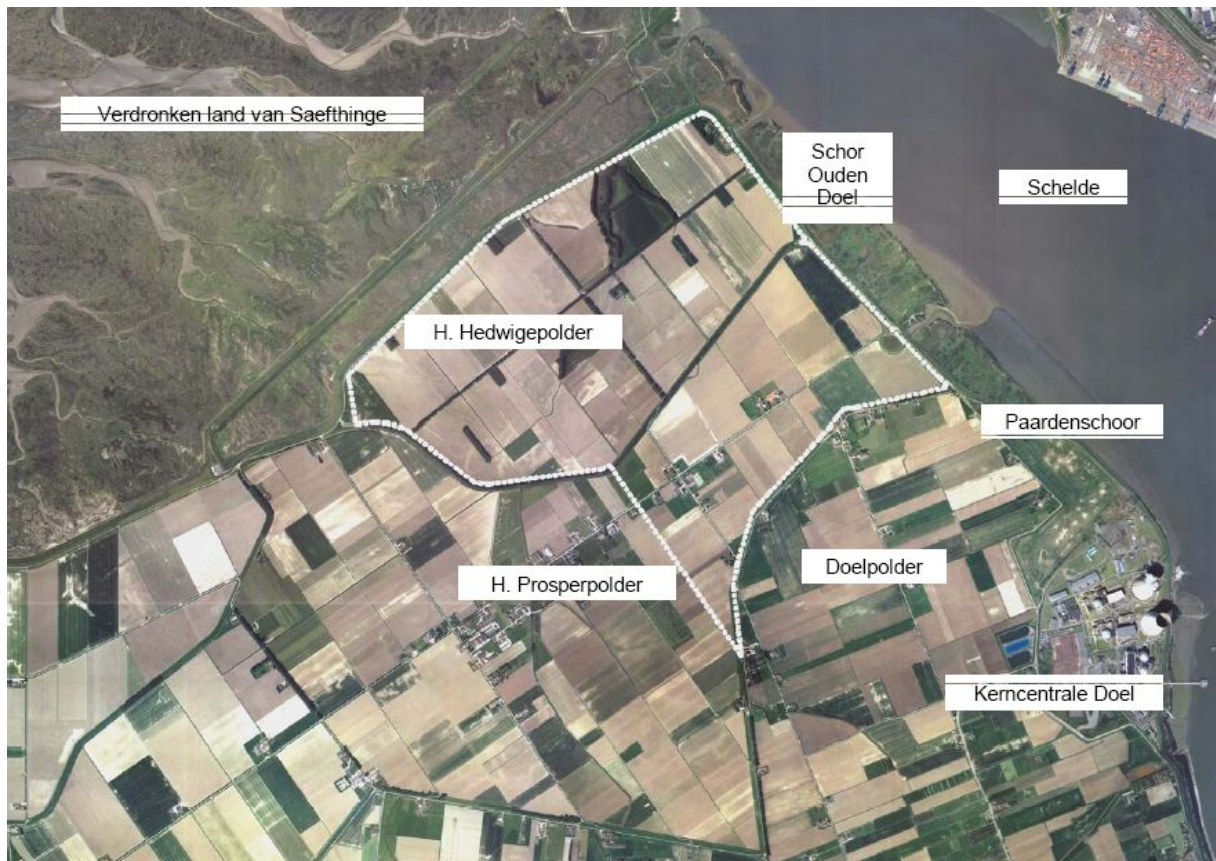
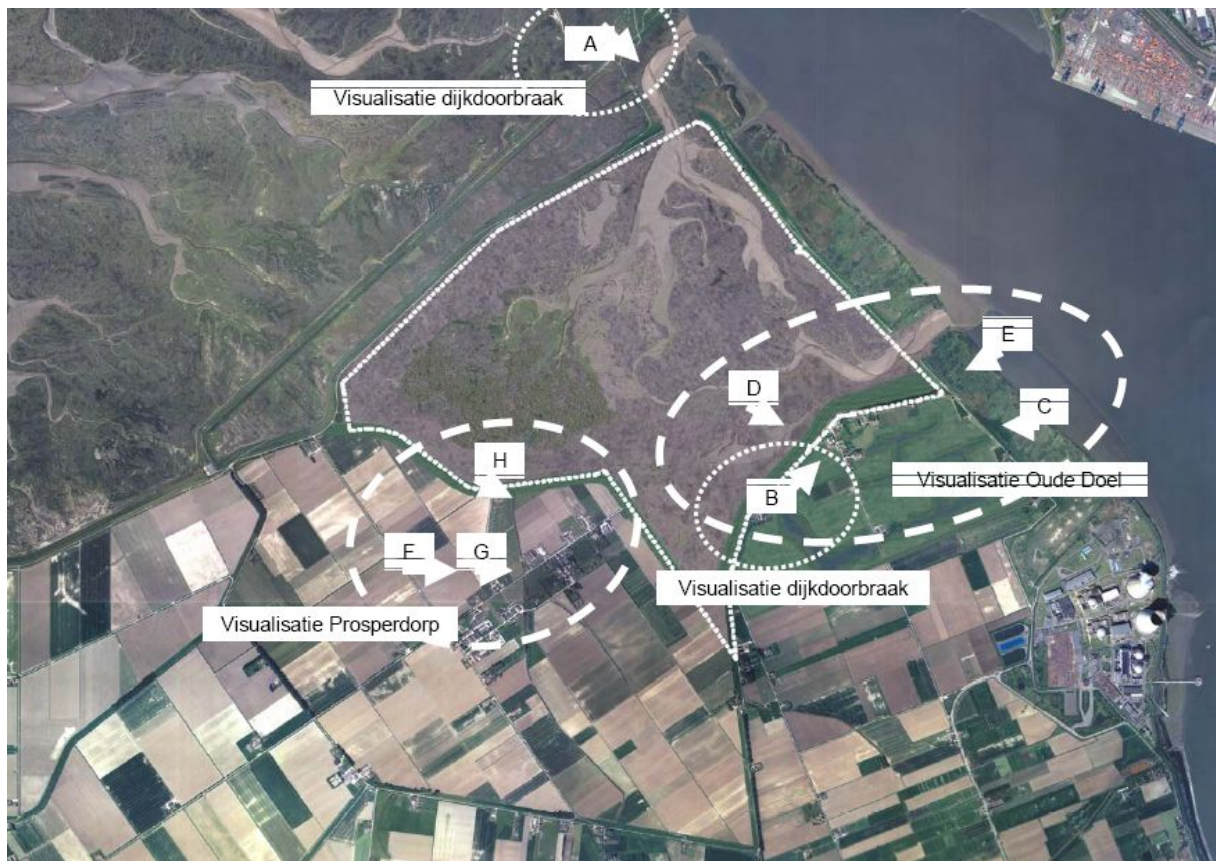


Bijlage 22: 3D simulatie van de bestaande en toekomstige toestand van het studiegebied vanuit verschillende zichtpunten (bron: IMDC-Soresma-RA, Floodscape, deelopdracht 5).

Figuur 1: Visualisatie bestaande toestand

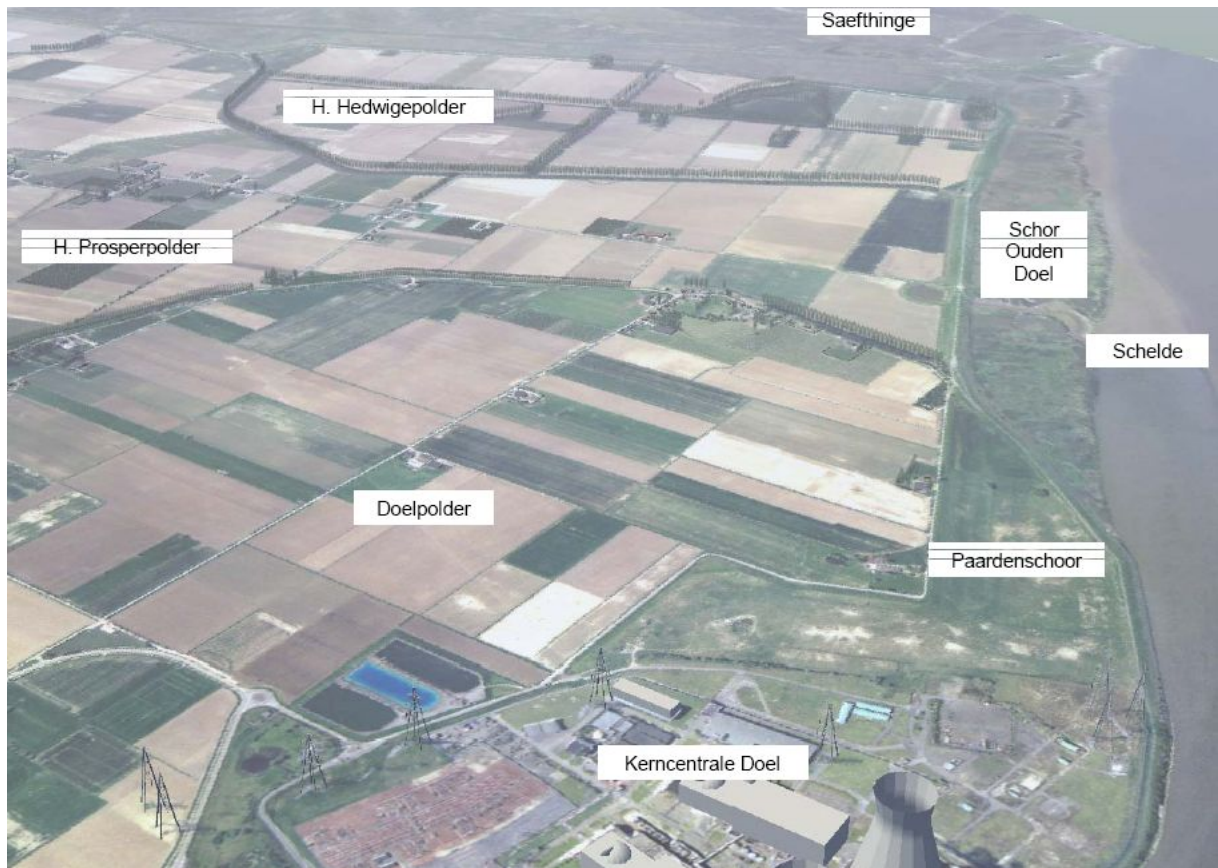


Figuur 2: Visualisatie toekomstige toestand + situering zichtpunten.



Bijlage 22: 3D simulatie van de bestaande en toekomstige toestand van het studiegebied vanuit verschillende zichtpunten (bron: IMDC-Soresma-RA, Floodscape, deelopdracht 5).

Figuur 3: 3D visualisatie bestaande toestand, zicht vanaf kerncentrale Doel naar Saeftinghe.



Figuur 4: 3D visualisatie toekomstige toestand, zicht vanaf kerncentrale Doel naar Saeftinghe.



Bijlage 22: 3D simulatie van de bestaande en toekomstige toestand van het studiegebied vanuit verschillende zichtpunten (bron: IMDC-Soresma-RA, Floodscape, deelopdracht 5).

Figuur 5: 3D visualisatie bestaande toestand, zicht vanaf Saeftinghe naar kerncentrale Doel.



Figuur 6: 3D visualisatie toekomstige toestand, zicht vanaf Saeftinghe naar kerncentrale Doel.



Bijlage 22: 3D simulatie van de bestaande en toekomstige toestand van het studiegebied vanuit verschillende zichtpunten (bron: IMDC-Soresma-RA, Floodscape, deelopdracht 5).

Figuur 7: 3D visualisatie bestaande toestand, zicht A.



Figuur 8: 3D visualisatie toekomstige toestand, zicht A.



Bijlage 22: 3D simulatie van de bestaande en toekomstige toestand van het studiegebied vanuit verschillende zichtpunten (bron: IMDC-Soresma-RA, Floodscape, deelopdracht 5).

Figuur 9: 3D visualisatie bestaande toestand, zicht B.



Figuur 10: 3D visualisatie toekomstige toestand, zicht B.



Bijlage 22: 3D simulatie van de bestaande en toekomstige toestand van het studiegebied vanuit verschillende zichtpunten (bron: IMDC-Soresma-RA, Floodscape, deelopdracht 5).

Figuur 11: 3D visualisatie bestaande toestand, zicht C.



Figuur 12: 3D visualisatie toekomstige toestand, zicht C.



Bijlage 22: 3D simulatie van de bestaande en toekomstige toestand van het studiegebied vanuit verschillende zichtpunten (bron: IMDC-Soresma-RA, Floodscape, deelopdracht 5).

Figuur 13: 3D visualisatie bestaande toestand, zicht D.



Figuur 14: 3D visualisatie toekomstige toestand, zicht D.



Bijlage 22: 3D simulatie van de bestaande en toekomstige toestand van het studiegebied vanuit verschillende zichtpunten (bron: IMDC-Soresma-RA, Floodscape, deelopdracht 5).

Figuur 15: 3D visualisatie bestaande toestand, zicht E.



Figuur 16: 3D visualisatie toekomstige toestand, zicht E.

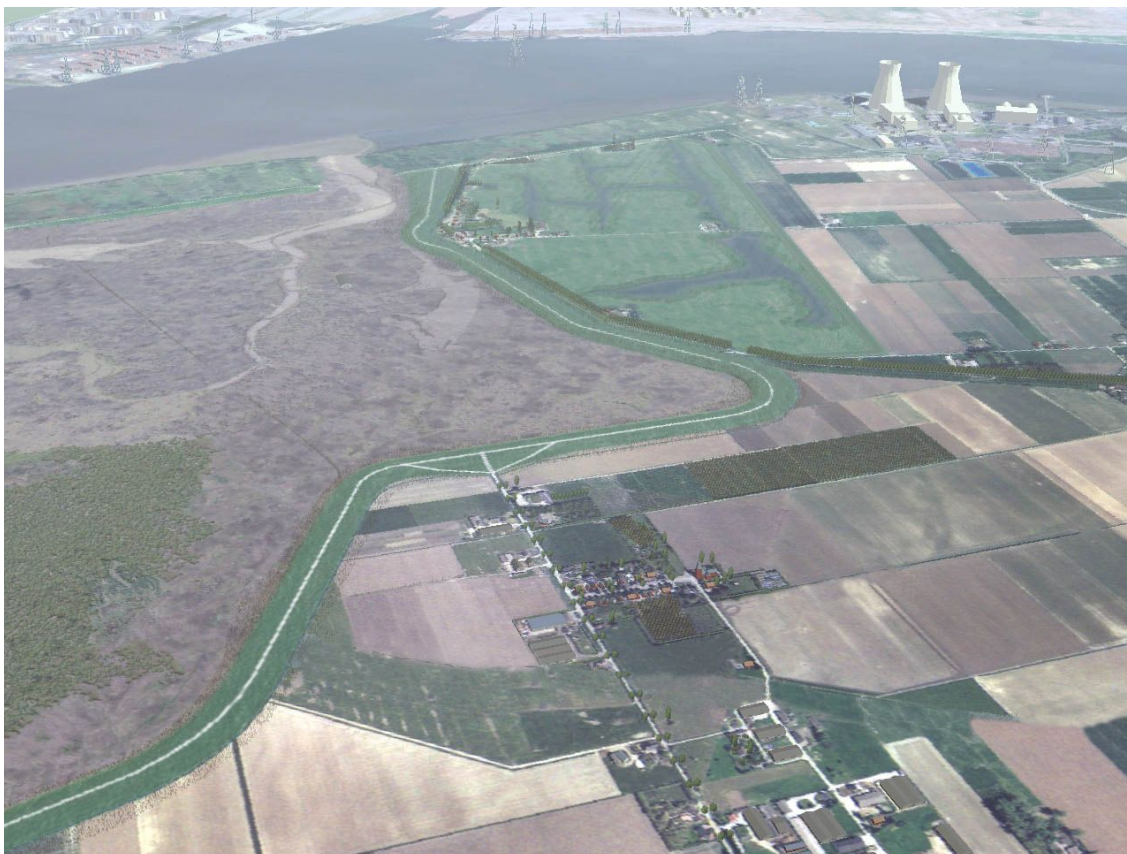


Bijlage 22: 3D simulatie van de bestaande en toekomstige toestand van het studiegebied vanuit verschillende zichtpunten (bron: IMDC-Soresma-RA, Floodscape, deelopdracht 5).

Figuur 17: 3D visualisatie bestaande toestand, zicht F.



Figuur 18: 3D visualisatie toekomstige toestand, zicht F.



Bijlage 22: 3D simulatie van de bestaande en toekomstige toestand van het studiegebied vanuit verschillende zichtpunten (bron: IMDC-Soresma-RA, Floodscape, deelopdracht 5).

Figuur 19: 3D visualisatie bestaande toestand, zicht G.



Figuur 20: 3D visualisatie toekomstige toestand, zicht G.



Bijlage 22: 3D simulatie van de bestaande en toekomstige toestand van het studiegebied vanuit verschillende zichtpunten (bron: IMDC-Soresma-RA, Floodscape, deelopdracht 5).

Figuur 21: 3D visualisatie bestaande toestand zicht H.



Figuur 22: 3D visualisatie toekomstige toestand, zicht H.

